

**МІНІСТЕРСТВО ОСВІТИ І НАУКИ, МОЛОДІ ТА СПОРТУ УКРАЇНИ
НАЦІОНАЛЬНИЙ ТЕХНІЧНИЙ УНІВЕРСИТЕТ УКРАЇНИ
“КИЇВСЬКИЙ ПОЛІТЕХНІЧНИЙ ІНСТИТУТ”**

Інститут прикладного системного аналізу

(назва факультету, інституту)

Кафедра системного проектування

(назва кафедри)

До захисту допущено

Завідувач кафедри

_____ А.І. Петренко _____
(підпис) (ініціали, прізвище)

“ ___ ” _____ 200* _р.

ПОЯСНЮВАЛЬНА ЗАПИСКА

до дипломного проекту (роботи) освітньо-кваліфікаційного рівня “ **спеціаліст** ”
(назва ОКР)

з напрямку підготовки (спеціальності) _____
(код та назва напрямку підготовки або спеціальності)

7.05010103 «Системне проектування»

на тему: «Реалізація технології розпізнавання облич при аутентифікації користувачів в мобільних пристроях»

Студент групи _____ (шифр групи) _____ (прізвище, ім'я, по батькові) _____ (підпис)

Керівник проекту доц. Капшук О.А. _____ (вчені ступінь та звання, прізвище, ініціали) _____ (підпис)

Консультанти:

з технічних вимог _____ к.т.н., доц. Харченко К.В. _____ (назва розділу ДП (ДР)) (вчені ступінь та звання, прізвище, ініціали) _____ (підпис)

нормоконтроль _____ к.т.н., доц. Стіканов В.Ю. _____ (назва розділу ДП (ДР)) (вчені ступінь та звання, прізвище, ініціали) _____ (підпис)

4. Перелік питань, які мають бути розроблені

- Авторизація користувачів мобільних пристроїв.
- Ідентифікація/аутентифікація за допомогою біометричних даних.
- Аналіз існуючих підходів до розпізнавання осіб.
- Розпізнавання осіб за допомогою бібліотеки OpenCV.
- Реалізація технології розпізнавання обличчя в мобільних пристроях.

5. Перелік графічного (ілюстративного) матеріалу

Схема загального алгоритму розпізнавання обличчя (креслення)

UML-діаграма додатку (креслення)

Приклад роботи алгоритму Eigenfaces (1-й плакат)

Таблиця порівнянь методів розпізнавання обличчя (2-й плакат)

Порівняння методів EigenFaces і FisherFaces (3-й плакат)

Демонстрація роботи додатку (4-й плакат)

.....

6. Консультанти

з технічних вимог _____
(назва розділу ДП (ДР))

к.т.н., доц. Харченко К.В. _____
(вчені ступінь та звання, прізвище, ініціали)

_____ (підпис)

7. Дата видачі завдання “ 07 ” 09 2016 р.

Керівник дипломного проекту (роботи) _____ Капшук О.А. _____
(підпис) (ініціали, прізвище)

Завдання прийняв до виконання _____ Савчук А.Ю. _____
(підпис) (ініціали, прізвище)

ЗАТВЕРДЖУЮ

Керівник
дипломного проекту (роботи)_____
(підпис) Капшук О.А.
(ініціали, прізвище)

“ ____ ” _____ 2016 р.

КАЛЕНДАРНИЙ ПЛАН-ГРАФІК**виконання дипломного проекту (роботи)**студентом _____ Савчук А.Ю.
(прізвище, ініціали)

№ з/п	Назва етапів роботи та питань, які повинні бути розроблені відповідно до завдання	Термін виконання	Позначки керівника про виконання завдань
1	Ознайомлення з технічною літературою і підготовка теоретичної частини роботи	10.09.2016 – 30.09.2016	
2	Аналіз вимог завдання, вибір методів і засобів розв'язання поставленої задачі	15.10.2016	
3	Огляд та аналіз існуючих рішень	15.11.2016	
4	Створення свого рішення та імплементація мобільного додатку	30.12.2016	
5	Підготовка графічного матеріалу, оформлення пояснювальної записки, підготовка до захисту	05.01.2017	
6	Проходження нормоконтролю, отримання відгуку, рецензії, передача роботи в ДЕК	10.01.2017	
7	Захист дипломної роботи	24.01.2017	

Студент _____
(підпис)

АНОТАЦІЯ

до дипломного проекту (роботи) освітньо-кваліфікаційного рівня “спеціаліст”
Савчука Артема Юрійовича

на тему: «Реалізація технології розпізнавання облич при аутентифікації
користувачів в мобільних пристроях»

Дипломна робота присвячена дослідженню та аналізу методів аутентифікації користувачів, та дослідження використання технології розпізнавання обличчя, у якості одного з методів аутентифікації на мобільних пристроях.

Було розроблено систему для аутентифікації користувачів на мобільних пристроях завдяки розпізнаванню обличчя. У процесі були використані наступні середовища, інструменти та засоби: Microsoft Visual Studio, C++, OpenCV.

Загальний об’єм роботи 83 сторінки, 30 рисунків, 1 таблиця, 14 посилань

ABSTRACT

of a specialist degree work, which made by Savchuk Artem Yuriyovych
on theme: “Implementation of face recognition technology while user authentication
on mobile devices”

This work is devoted to research and analyze user authentication methods, and research the use of technology for face recognition, as one of the authentication methods on mobile devices.

As result, developed an approach of system for user authentication on mobile devices by face recognition. The process was used such environment, instruments and tools: Microsoft Visual Studio, C++, OpenCV.

The total amount of work 83 pages, 30 figures, 1 table, 14 references

ЗМІСТ

Перелік умовних позначень, символів, скорочень і термінів.....	7
ВСТУП	8
1 АВТОРИЗАЦІЯ КОРИСТУВАЧІВ МОБІЛЬНИХ ПРИСТРОЇВ.....	10
1.1 Парольна аутентифікація.....	12
1.1.1 Одноразові паролі	13
1.1.2 Сервер аутентифікації Kerberos.....	14
1.1.3 Ідентифікація/аутентифікація за допомогою біометричних даних	15
1.2 Висновки	25
2 ЗАСТОСУВАННЯ РОЗПІЗНАВАННЯ ОБЛИЧЧЯ В СИСТЕМАХ АУТЕНТИФІКАЦІЇ КОРИСТУВАЧІВ	26
2.1 Передмова	26
2.2 Історія розвитку розпізнавання образів	28
2.3 Аналіз існуючих підходів до розпізнавання осіб	34
2.3.1 Метод гнучкого порівняння на графах	35
2.3.2 Нейронні мережі.....	39
2.3.3 Приховані Марківські моделі (СММ, НММ).....	41
2.3.4 Метод головних компонент або головних компонент (РСА).....	42
2.3.5 Active Appearance Models (AAM) и Active Shape Models (ASM)....	45
2.4 Розпізнавання осіб за допомогою бібліотеки OpenCV	51
2.4.1 Алгоритм Eigenface.....	56
2.4.2 Алгоритм FisherFaces.....	57

					<i>ДА-52с.19-0006.001</i>					
					<i>Зміст</i>			<i>Литера</i>	<i>Масса</i>	<i>Масштаб</i>
<i>Изм.</i>	<i>Лист</i>	<i>№ документа</i>	<i>Підпис</i>	<i>Дата</i>						
<i>Розробив</i>	<i>Савчук Артем</i>									
<i>Перевірів</i>										
<i>Т. контр.</i>								<i>Лист</i>		<i>Листов</i>
<i>Н. контр.</i>					<i>гр. ДА-52с</i>					
<i>Утвердил</i>	<i>Петренко А.И.</i>									

2.4.3 Алгоритм Local Binary Patterns Histograms (LBPH)	58
2.5 Висновок	59
3 РЕАЛІЗАЦІЯ ТЕХНОЛОГІЇ РОЗПІЗНАВАННЯ ОБЛИЧЧЯ В МОБІЛЬНИХ ПРИБОРАХ	61
3.1 OpenCV	61
3.2 Використання OpenCV у Visual Studio	64
3.3 Тестування реалізованих методів	69
3.4 Висновок	71
4 КЕРУВАННЯ ТЕРМІНАМИ ВИКОНАННЯ ДИПЛОМНОЇ РОБОТИ. КЕРУВАННЯ РИЗИКАМИ.....	72
4.1 Керування термінами виконання дипломної роботи	73
4.2 Керування ризиками	75
4.3 Висновки	76
ВИСНОВКИ.....	77
СПИСОК ВИКОРИСТАНИХ ДЖЕРЕЛ.....	78

					<i>ДА-52с.19-0006.001</i>			
					Зміст	<i>Литера</i>	<i>Масса</i>	<i>Масштаб</i>
<i>Изм.</i>	<i>Лист</i>	<i>№ документа</i>	<i>Підпис</i>	<i>Дата</i>				
<i>Розробив</i>	<i>Савчук Артем</i>							
<i>Перевіриє</i>								
<i>Т. контр.</i>						<i>Лист</i>	<i>Листов</i>	
<i>Н. контр.</i>					гр. ДА-52с			
<i>Утвердил</i>	<i>Петренко А.И.</i>							

ВСТУП

В даний час активно розвиваються біометричні технології, спрямовані на отримання та використання біометричних даних людини з метою його ідентифікації. Системи, використовують такі технології, які можуть застосовуватися в різних галузях інформаційної безпеки: системи паспортного контролю в аеропортах та інших великих транспортних системах електронної торгівлі, системах спостереження для зниження терористичних загроз і розшуку людей. Істотною перевагою розпізнавання по обличчю перед іншими біометричними методами є можливість ідентифікації на відстані. Створення системи розпізнавання зображень, що характеризуються високою розмірністю простору ознак, є актуальною для вирішення завдань ідентифікації особистості та аналізу психофізичного стану людини. В даний час проблеми ідентифікації графічних образів присвячено безліч робіт (багато з яких базуються на нейромережевих методах), однак в цілому вона ще далека від вирішення.

Областю використання розпізнавання обличь у цій роботі стане аутентифікація користувача. Автоматична ідентифікація особистості людини завдяки його зображенню на фотографії або у відеопотоці має широке комерційне і наукове застосування. Дана тематика з'явилася на початку 80-х років, однак, її бурхливий розвиток почався в 90-х, після створення нових технологій у сфері обробки зображень і обчислювальних машин. Дана технологія має особливий інтерес у зв'язку з тим, що може відбуватися безконтактно.

З кожним зареєстрованим в комп'ютерній системі суб'єктом (користувачем або процесом, чинним від імені користувача) пов'язана деяка інформація, що однозначно ідентифікує його. Це може бути число або рядок символів, які називають даний суб'єкт. Цю інформацію називають ідентифікатором суб'єкта. Якщо користувач має ідентифікатор, зареєстрований в мережі, він вважається легальним (законним) користувачем; інші користувачі, які відносяться до нелегальних користувачам. Перш ніж отримати доступ до ресурсів комп'ютерної системи, користувач повинен пройти процес первинного

						Лист
					<i>ДА-52с.19-0006.001</i>	
Изм.	Лист	№ документа	Подпись	Дата		

висновок, що вирішення цих проблем на ЕОМ має в загальних рисах моделювати процеси людського мислення. Найбільш відомою спробою підійти до проблеми з цього боку було знамените дослідження Ф. Розенблатта за перцептронам.

До середини 50-х років здавалося, що нейрофізіологами були зрозумілі фізичні принципи роботи мозку (у книзі "Новий Розум Короля" знаменитий британський фізик-теоретик Р. Пенроуз цікаво ставить під сумнів нейромережеву модель мозку, обґрунтовуючи істотну роль у його функціонуванні квантовомеханических ефектів; хоча, втім, ця модель піддавалася сумніву з самого початку. Відштовхуючись від цих відкриттів Ф. Розенблатт розробив модель навчання розпізнаванню зорових образів, названу ним перцептроном. Перцептрон Розенблатта являє собою таку функцію (рис.2.2.1):

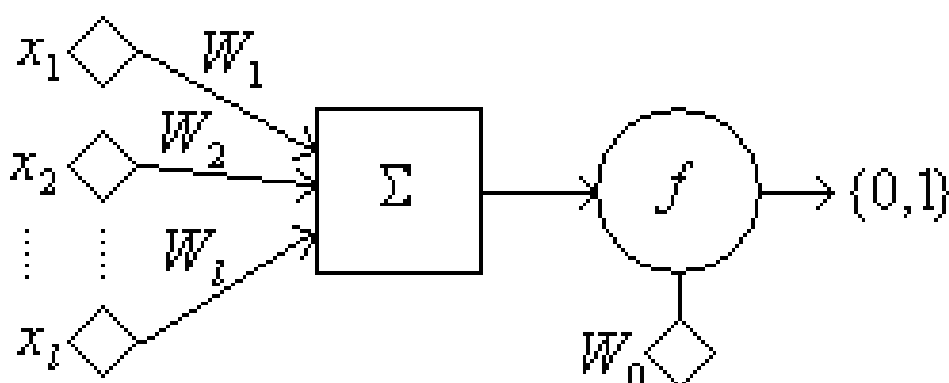


Рис – 2.2.1 Схема Перцептрона

На вході перцептрон отримує вектор об'єкта, який в роботах Розенблатта представляв собою бінарний вектор, який показував який з пікселів екрана зачорнен зображенням а який ні. Далі кожен з ознак подається на вхід нейрона, дія якого являє собою просте множення на деякий вага нейрона. Результати подаються на останній нейрон, який їх і складає загальну суму порівнює з деяким порогом. Залежно від результатів порівняння вхідний об'єкт X визнається належним чином, або ні. Тоді завдання навчання розпізнаванню образів полягала в такому виборі ваг нейронів і значення порога, щоб

									Лист
Изм.	Лист	№ документа	Подпись	Дата	ДА-52с.19-0006.001				

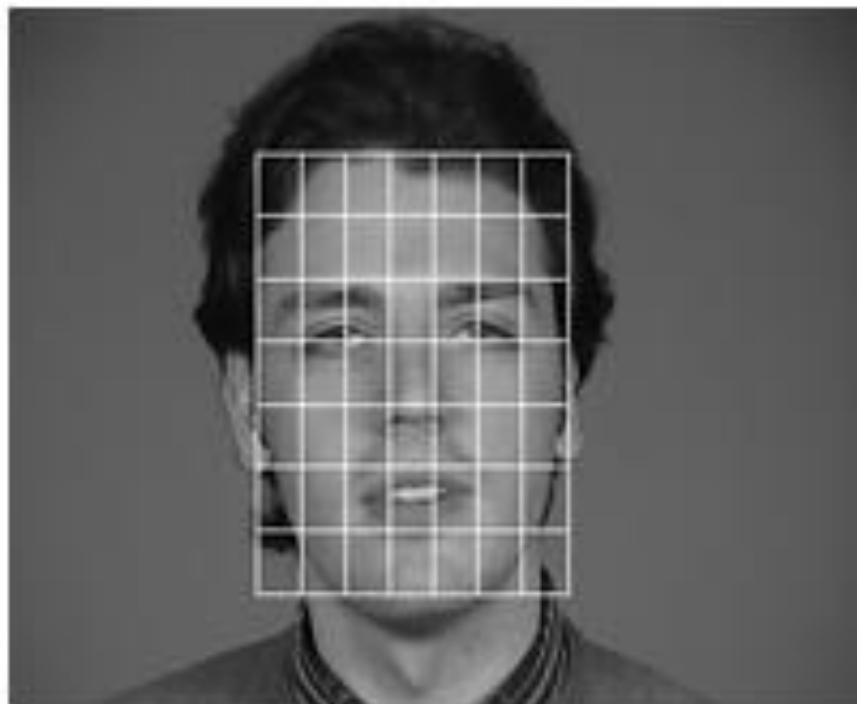


Рис – 2.3.1.1 Регулярна решітка

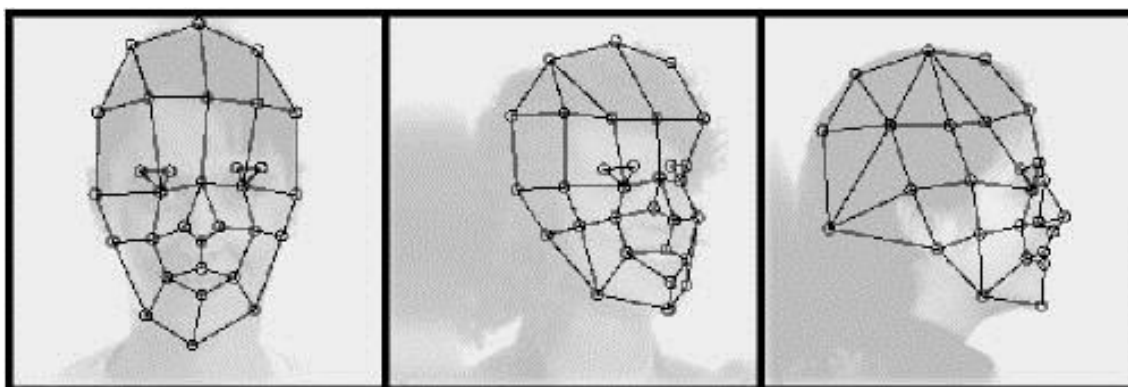


Рис – 2.3.1.2 граф на основі антропометричних точок обличчя.

У вершинах графа обчислюються значення ознак, найчастіше використовують комплексні значення фільтрів Габора або їх впорядкованих наборів – Габоровських вейвлет (строї Габора), які обчислюються у деякій локальній області вершини графа локально шляхом згортки значень яскравості пікселів з фільтрами Габора (Рис 1.3.1.3).

Изм.	Лист	№ документа	Подпись	Дата

ДА-52с.19-0006.001

Лист

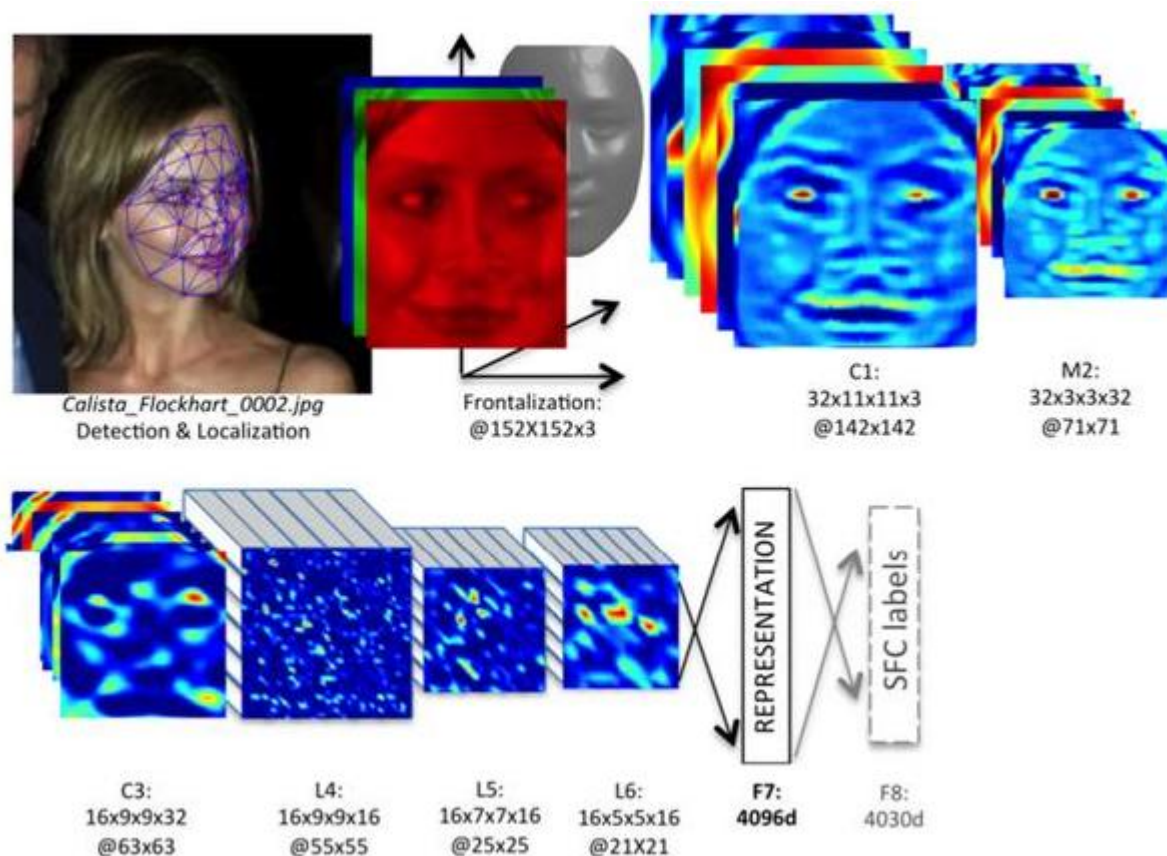


Рис 2.3.2.2 - Принцип роботи DeepFace

Недоліки нейронних мереж: додавання нового еталонного особи в базу даних вимагає повного перенавчання мережі на всьому наявному наборі (досить тривала процедура, в залежності від розміру вибірки від 1 години до декількох днів). Проблеми математичного характеру, пов'язані з навчанням: попадання в локальний оптимум, вибір оптимального кроку оптимізації, перенавчання і т. д. Важко формалізований етап вибору архітектури мережі (кількість нейронів, верств, характер зв'язків). Узагальнюючи все вищесказане, можна зробити висновок, що НС – «чорний ящик» з важко інтерпретуються результатами роботи.

2.3.3 Приховані Марківські моделі (СММ, НММ)

Одним із статистичних методів розпізнавання осіб є приховані Марківські моделі (СММ) з дискретним часом. СММ використовують статистичні властивості сигналів і враховують безпосередньо їх просторові характеристики. Елементами моделі є: безліч прихованих станів, безліч спостережуваних станів.

									Лист
Изм.	Лист	№ документа	Подпись	Дата	ДА-52с.19-0006.001				

представляються зваженою комбінацією цих власних векторів. Використовуючи обмежену кількість власних векторів можна отримати стислу апроксимацію вхідному зображенню особи, яку потім можна зберігати в базі даних у вигляді вектора коефіцієнтів, службовця одночасно ключем пошуку в базі даних осіб.

Суть методу головних компонент зводиться до наступного. Спочатку весь навчальний набір осіб перетворюється в одну загальну матрицю даних, де кожна лінія являє собою один примірник зображення особи, розкладеного у рядок. Всі особи навчального набору повинні бути приведені до одного розміру і з нормованими гістограмами.

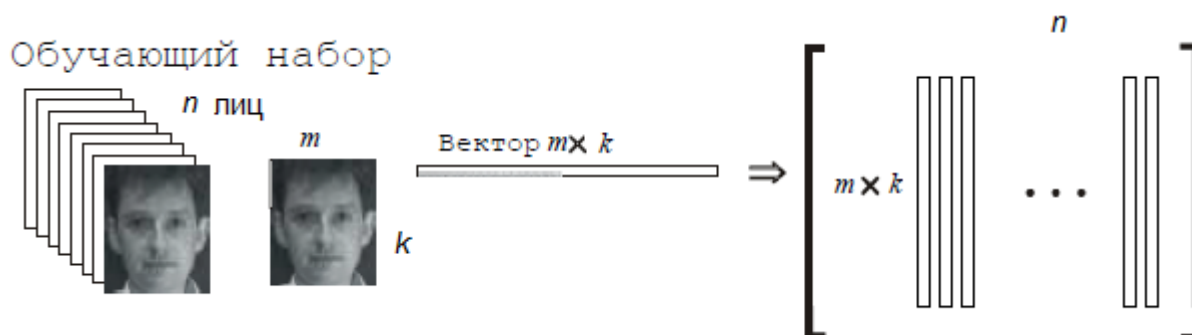


Рис. 2.3.4.1 - Перетворення навчального набору осіб в одну загальну матрицю X

Потім проводиться нормування даних та приведення рядків до 0-го середньому і 1-й дисперсії, обчислюється матриця коваріації. Для отриманої матриці коваріації вирішується задача визначення власних значень і відповідних їм власних векторів (власні особи). Далі виробляється сортування власних векторів в порядку убутання власних значень і залишають тільки перші k векторів за правилом:

$$\frac{\sum_{i=1}^k \lambda_i}{\sum_{i=1}^n \lambda_i} > \text{Threshold (0.9 or 0.95)}$$

лише звичайні програми (не ігри). Також поки відсутня можливість використання нативних бібліотек. А сам API теж вельми бідний на можливості.

Метод головних компонент добре зарекомендував себе в практичних додатках. Однак, у тих випадках, коли на зображенні особи присутні значні зміни в освітленості або виразі обличчя, ефективність методу значно падає. Вся справа в тому, що PCA вибирає підпростір з такою метою, щоб максимально апроксимувати вхідний набір даних, а не виконати дискримінацію між класами осіб[12].

Було запропоновано вирішення цієї проблеми з використанням лінійного дискримінанта Фішера (у літературі зустрічається назва "Eigen-Fisher", "Fisherface", LDA). LDA вибирає лінійне підпростір, яке максимізує відношення:

$$\frac{|\Phi^T S_b \Phi|}{|\Phi^T S_w \Phi|}$$

де $S_b = \sum_{i=1}^m N_i (\bar{x}_i - \bar{x})(\bar{x}_i - \bar{x})^T$ - матриця міжкласові розкиду,

$S_w = \sum_{i=1}^m \sum_{x \in X_i} (x - \bar{x}_i)(x - \bar{x}_i)^T$ - Матриця внутрикласового розкиду

m – число класів в базі даних.

LDA шукає проекцію даних, при якій класи є максимально лінійно сепарабельны (див. малюнок нижче). Для порівняння PCA шукає таку проекцію даних, при якій буде максимизирован розкид по всій базі даних осіб (без урахування класів). За результатами експериментів в умовах сильного бакового і нижнього затінення зображень осіб Fisherface показав 95% ефективність, порівняно з 53% Eigenface.

2.3.5 Active Appearance Models (AAM) и Active Shape Models (ASM)

Активні моделі зовнішнього вигляду (Active Appearance Models, AAM) — це статистичні моделі зображень, які шляхом різного роду деформацій можуть бути підігнані під реальне зображення. Даний тип моделей у двовимірному

										Лист
Изм.	Лист	№ документа	Подпись	Дата	ДА-52с.19-0006.001					

варіанті була запропонована Тімом Кутсом і Крісом Тейлором у 1998 році. Спочатку активні моделі зовнішнього вигляду застосовувалися для оцінки параметрів зображень осіб.

Активна модель зовнішнього вигляду містить два типи параметрів: параметри, пов'язані з формою (параметри форми), і параметри, пов'язані зі статистичною моделлю пікселів зображення або текстурою (параметри зовнішнього вигляду). Перед використанням модель повинна бути навчена безлічі заздалегідь розмічених зображень. Розмітка зображень проводиться вручну. Кожна мітка має свій номер і визначає характерну точку, яку повинна буде знаходити модель під час адаптації до нового зображення.

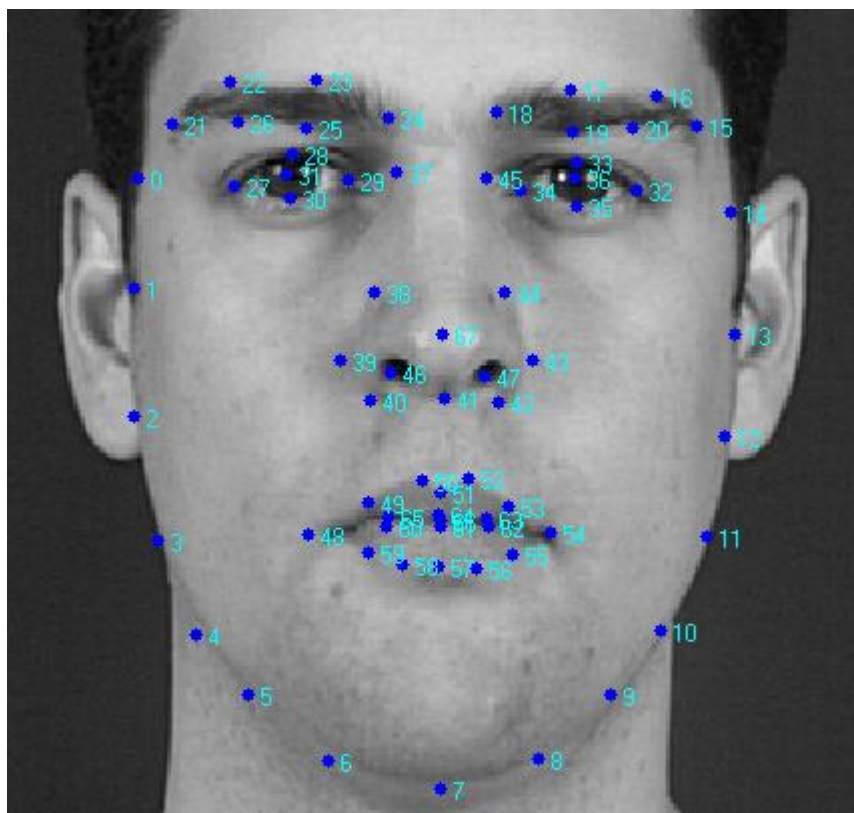


Рис - 2.3.5.1 Приклад розмітки зображення особи з 68 точок, що утворюють форму ААМ.

Процедура навчання ААМ починається з нормалізації форм, розмічених зображеннях з метою компенсації різниці в масштабі, нахилі і зсуві. Для цього використовується так званий узагальнений Прокрустов аналіз.

										Лист
Изм.	Лист	№ документа	Подпись	Дата	ДА-52с.19-0006.001					

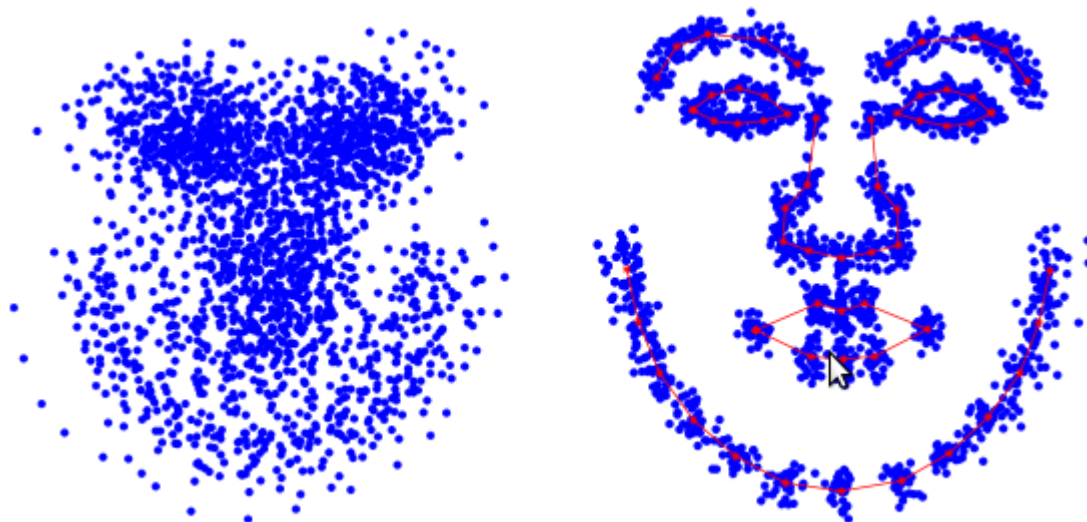


Рис - 2.3.5.2 Координати точок форми особи до і після нормалізації
З усієї множини нормованих точок потім виділяються головні компоненти з використанням методу РСА.

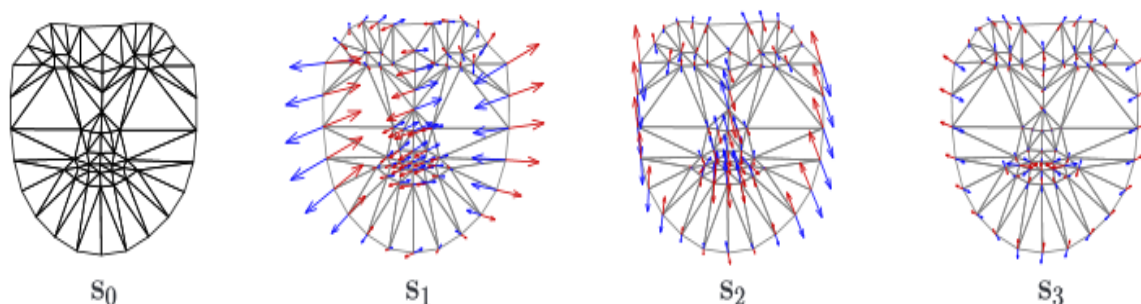


Рис - 2.3.5.3 Модель форми ААМ складається з триангуляційної решітки s_0 і лінійної комбінації зміщень s_i щодо s_0

Далі з пікселів всередині трикутників, утворених точками форми, формується матриця, така що, кожен стовпець містить значення пікселів відповідної текстури. Варто відзначити, що використовуються для навчання текстури можуть бути одноканальними (градації сірого), так і багатоканальними (наприклад, простір кольорів RGB або інше). У разі багатоканальних текстур вектори пікселів формуються окремо по кожному з каналів, а потім виконується їх конкатенація. Після знаходження головних компонент матриці текстур модель ААМ вважається навченою.

										Лист
Изм.	Лист	№ документа	Подпись	Дата						

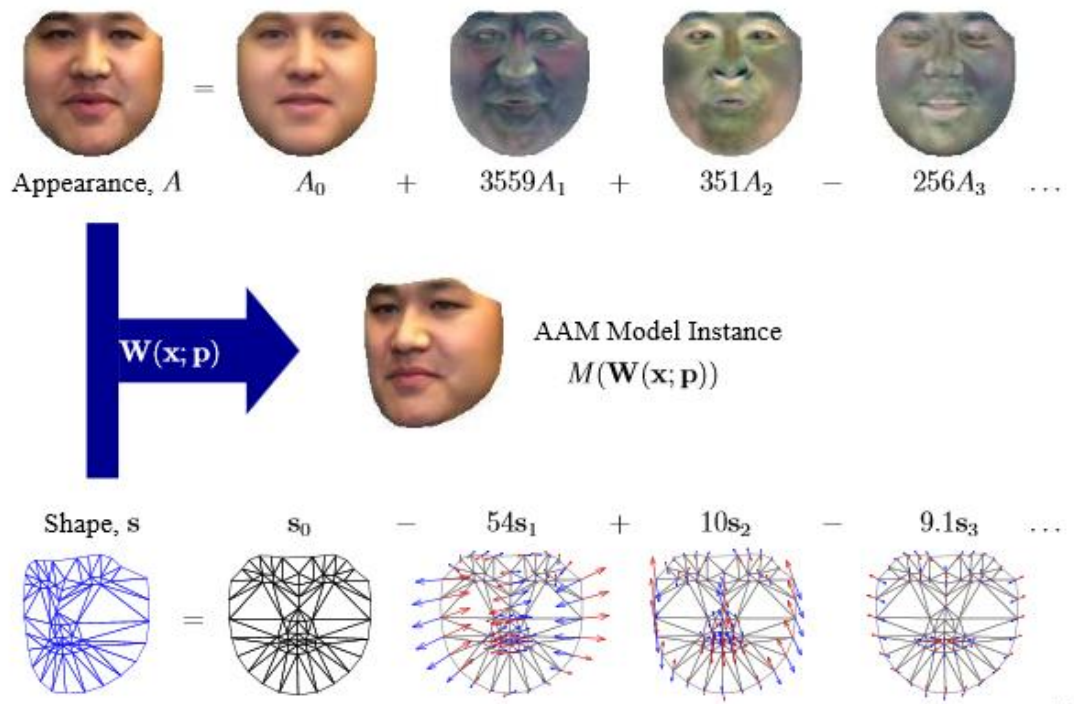


Рис – 2.3.5.4 Приклад конкретизації ААМ. Вектор параметрів форми

$p = (p_1, p_2, \dots, p_m)^T = (-54, 10, -9.1, \dots)^T$ використовується для синтезу моделі форми s , а вектор параметрів $\lambda = (\lambda_1, \lambda_2, \dots, \lambda_m)^T = (3559, 351, -256, \dots)^T$ для синтезу зовнішнього вигляду моделі. Підсумкова модель особи $M(W(x; p))$ виходить як комбінація двох моделей – форми і зовнішнього вигляду.

Підгонка моделі під конкретне зображення особи виконується в процесі вирішення оптимізаційної задачі, суть якої зводиться до мінімізації функціоналу $p = (p_1, p_2, \dots, p_m)^T = (-54, 10, -9.1, \dots)^T$

Методом градієнтного спуску. Знайдені при цьому параметри моделі і будуть відображати положення моделі на конкретному зображенні.



Рис - 2.3.5.5 Приклад підгонки моделі на конкретне зображення за 20 ітерацій процедури градієнтного спуску.

З допомогою ААМ можна моделювати зображення об'єктів, схильних як твердої, так і нежорсткої деформації. ААМ складається з набору параметрів, частину яких представляють форму обличчя, інші ставлять його текстуру. Під деформації зазвичай розуміють геометричне перетворення у вигляді композиції переносу, повороту і масштабування. При вирішенні задачі локалізації особи на зображенні виконується пошук параметрів (розташування, форма, текстура) ААМ, які представляють синтезоване зображення, найбільш близьке до спостережуваного. За ступенем близькості ААМ подгоняемому зображенню приймається рішення – є особа чи ні[11].

Суть методу ASM полягає в обліку статистичних зв'язків між розташуванням антропометричних точок. На наявній вибірці зображень осіб, знятих в анфас. На зображенні експерт розмічає розташування антропометричних точок. На кожному зображенні точки пронумеровані в однаковому порядку.

Спершу потрібно завантажити файл інсталяції. Зробити це можна на сайті проекту (<http://opencv.org/>)

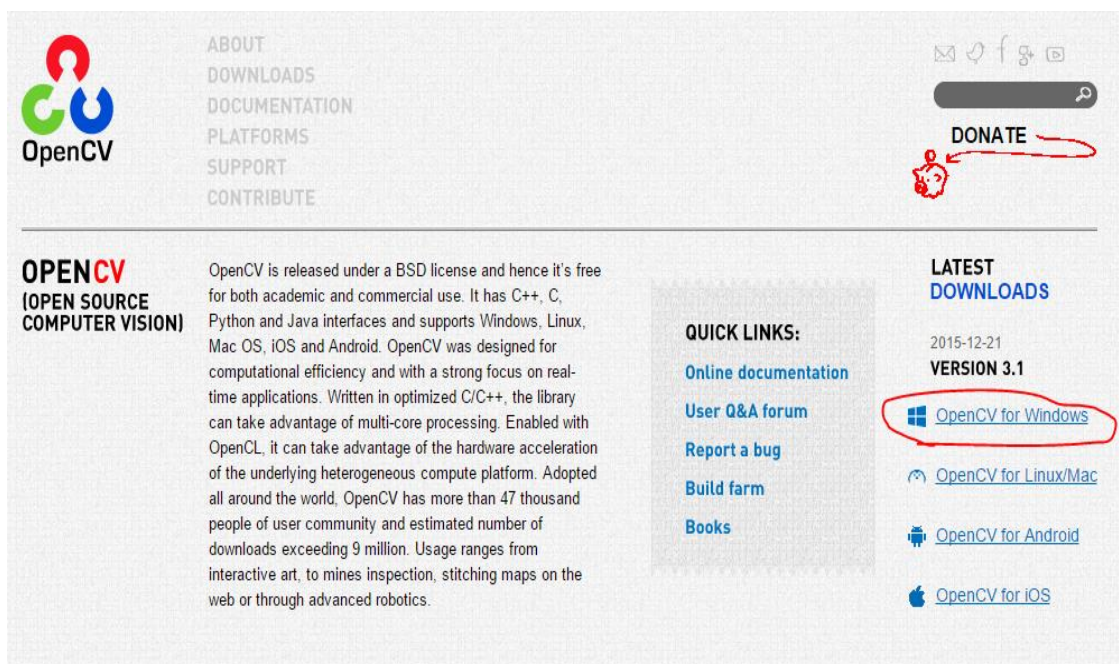


Рис - 3.2.1 Сайт OpenCV

Після того, як файл буде завантажено, запускаємо його і вибираємо каталог для установки: встановити можна куди вам захочеться (по суті це просто саморозпаковується архів). Виберемо наприклад диск D:\ (Створювати папку не треба: при розпакуванні у обрану директорію додасться папка "opencv").

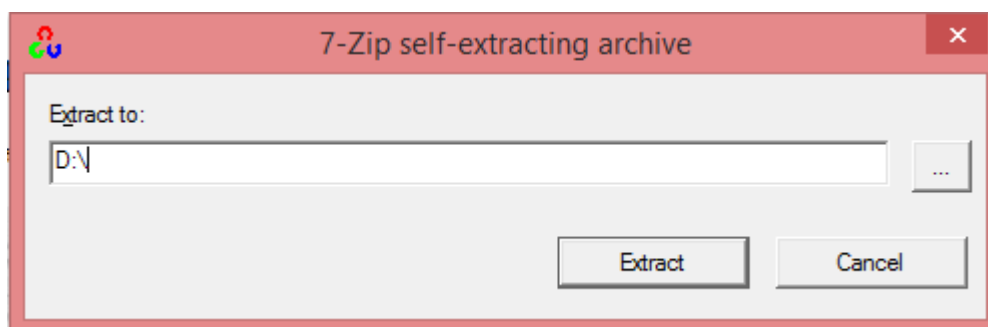


Рис - 3.2.2 Розпакування архіву

Після встановлення необхідно налаштувати змінні середовища. Для відкриваємо: "Панель керування" -> "Система" -> "Додаткові параметри системи" ->Додатково->"Змінні середовища..."

									Лист
Изм.	Лист	№ документа	Подпись	Дата					

ДА-52с.19-0006.001

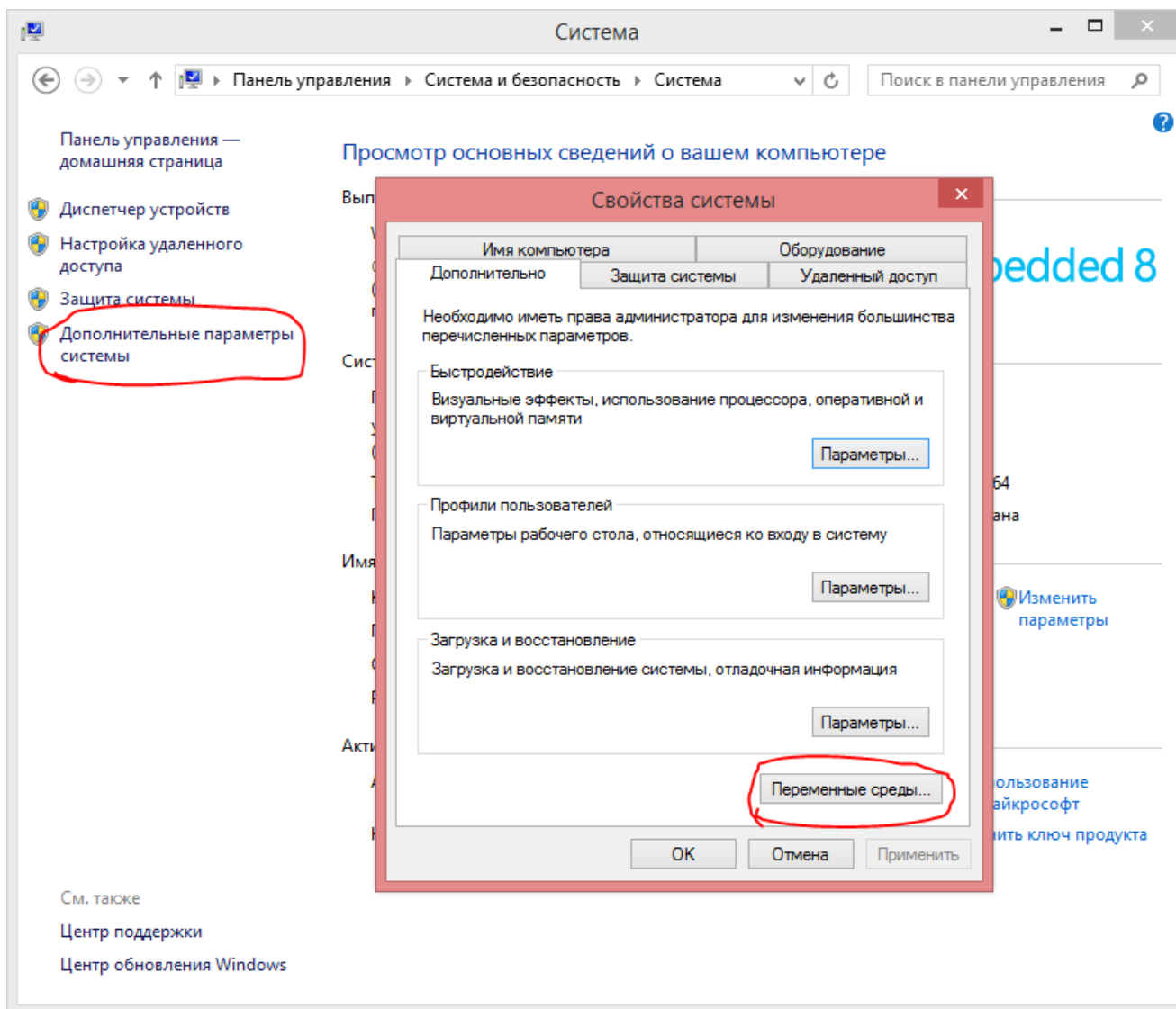


Рис – 3.2.3 змінні середовища

Створимо таку системну змінну:

Змінна: OPENCV_DIR

Значення: [Місце установки opencv]\opencv\build\x64\vc14 (У нашому випадку: D:\opencv\build\x64\vc14)

Далі виправляємо змінну Path:

Додаємо в кінець її значення наступну рядок: ;%OPENCV_DIR%\bin

Після додавання змінної середовища необхідно перезавантажити комп'ютер.

Тепер переходимо до налаштування Visual Studio.

Якщо під час попередніх кроків Visual Studio була запущена, її необхідно перезапустити.

										Лист
Изм.	Лист	№ документа	Подпись	Дата						

У проекті, де необхідно використовувати OpenCV відкриваємо властивості проекту (Проект->Властивості або Alt+F7)

Перед внесенням змін виберіть конфігурацію "конфігурації", а платформу "x64".

В закладці C/C++ Вказуємо додаткові каталоги, у які включаються файлів:
\$(OPENCV_DIR)\..\..\include

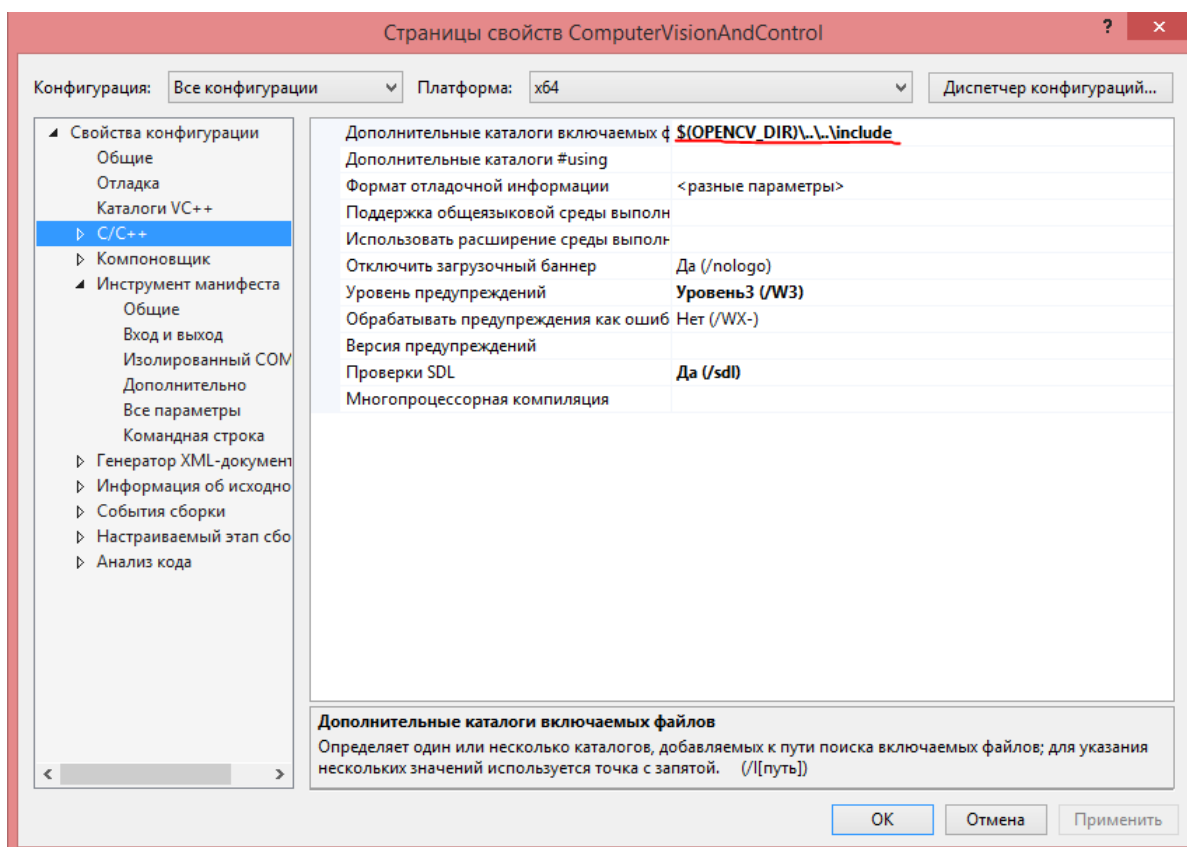


Рис - 3.2.4 Додаткові каталоги Visual Studio

В закладці Компонувальник->Загальні вказуємо додаткові каталоги бібліотек:
\$(OPENCV_DIR)\lib

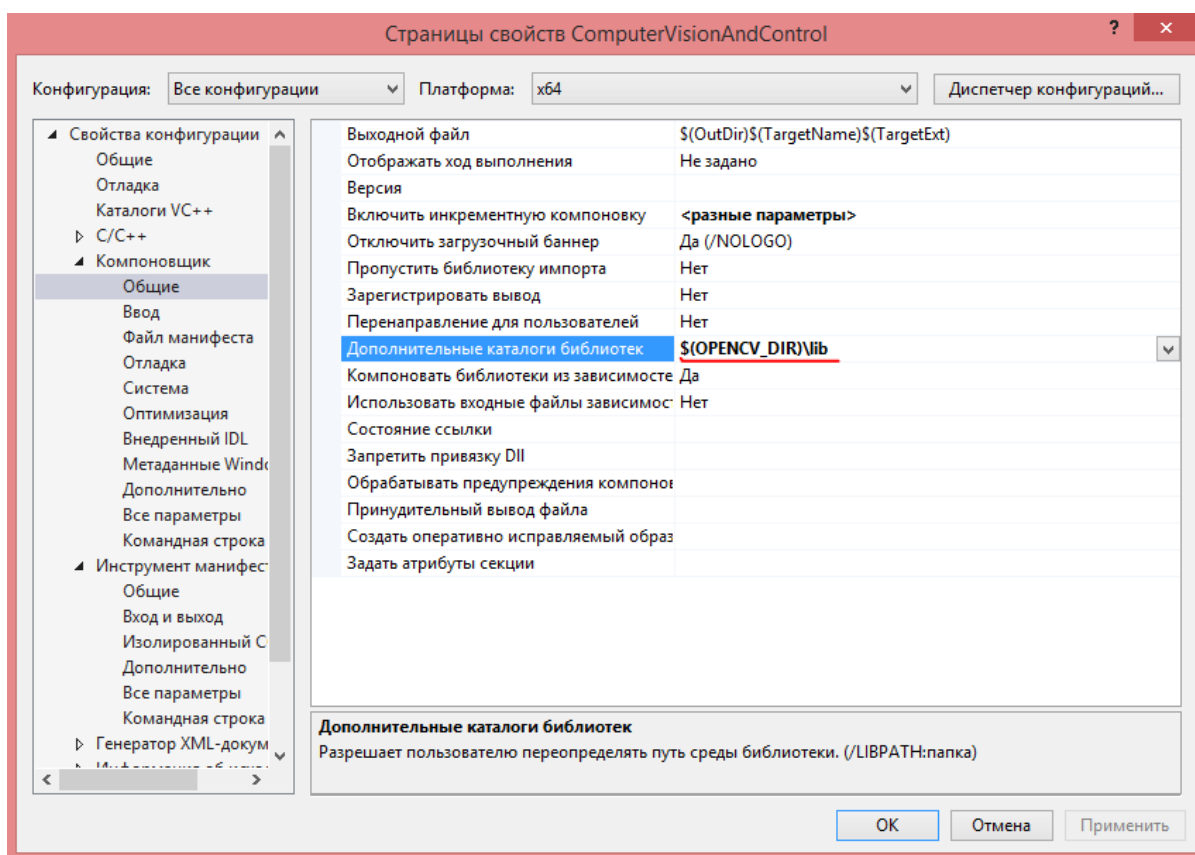


Рис - 3.2.5 додаткові бібліотеки

В закладці Компоновальник->Enter вказуємо додаткові залежності:
 opencv_world310.lib;opencv_world310d.lib;

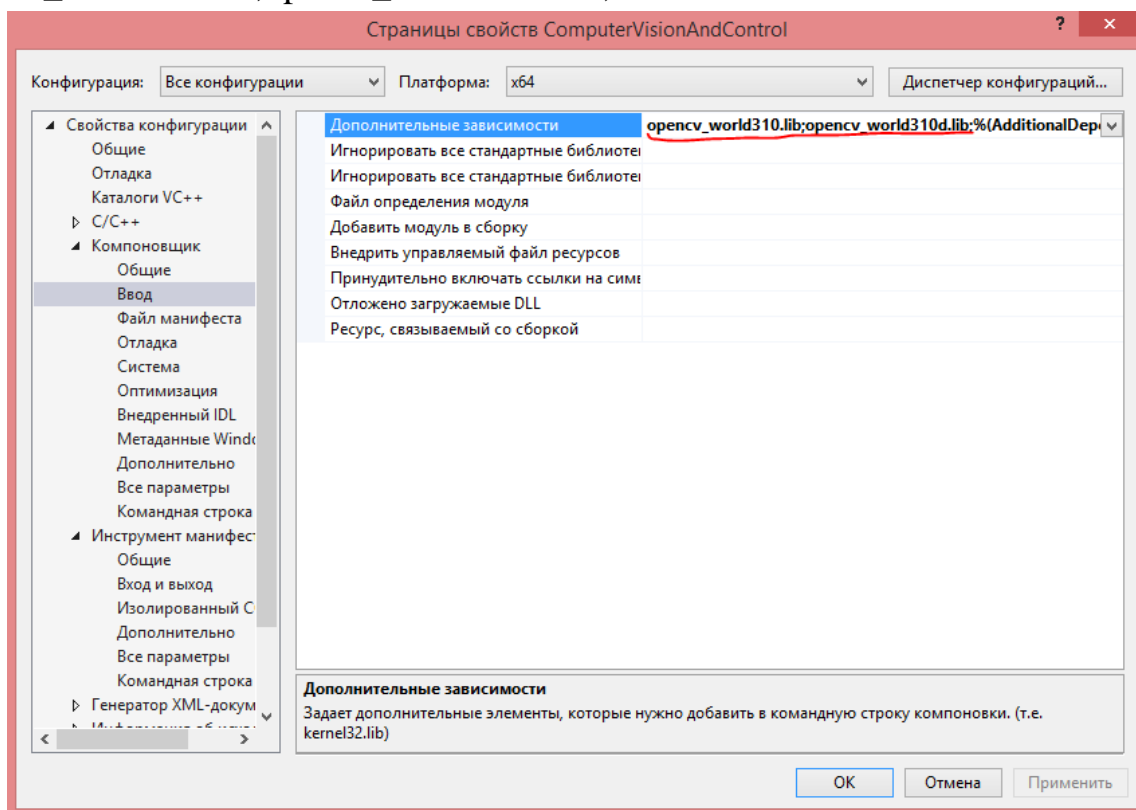


Рис 3.2.6 додаткові залежності.

										Лист
Изм.	Лист	№ документа	Подпись	Дата	ДА-52с.19-0006.001					

Після навчання моделі можна тестувати додаток на розпізнавання обличчя.



Рис - 3.3.2 Демонстрація роботи додатку

Як можна побачити з рисунку 3.3.2, розпізнавання обличчя спрацювало, але така зміна обличчя, як поява окулярів не дала змоги розпізнати користувача.

Тепер можемо порівняти методи EigenFaces, FisherFaces та LBPH. Для цього проведемо порівняння при штучному і природньому освітленні.

Таблица 3.3.1 – Результати роботи алгоритмів ідентифікації на тестовій множині.

№	Вероятность верной идентификации			Вероятность ложной идентификации		
	LBPH	Eigen Faces	Fisher Faces	LBPH	Eigen Faces	Fisher Faces
Естественное освещение						
1	0,79	0,30	0,50	0,14	0,33	0,35
2	0,88	0,00	0,00	0,05	0,54	0,79
3	0,76	0,69	0,68	0,12	0,30	0,18
Искусственное освещение						
1	0,50	0,03	0,13	0,20	0,50	0,50
2	0,77	0,00	0,00	0,15	0,90	0,90
3	0,75	0,00	0,00	0,18	1,00	1,00

4.2.Реалізація методів

4.3.Тестування

4.4.Оформлення результатів

5. Підготовка до захисту

5.1.Оформлення висновків

5.2.Презентація

5.3.Підготовка до захисту

Оцінка тривалості робіт (оптимістична (O)– песимістична (P) – реалістична (M)).

1. Робота з літературою (20 – 30 – 22)
2. Робота над першим та другим розділом (14 – 20 – 16)
3. Робота над практичною частиною (27 – 35 – 30)
4. Підготовка до захисту (12 – 15 – 13)

Таблиця 4.1 – Оцінка параметрів дипломної роботи

№	P	M	O	Дисп.	Ср.ст.от.	Te
1	30	22	20	2,56	1,6	23
2	20	16	14	1	1	16,(3)
3	35	30	27	1,7	1,33	30,(3)
4	15	13	12	0,25	0,5	13,1(6)
Σ	100	81	73	20,25	4,5	82,8(3)

$$Z = 0,66; F(z) = 0,74$$

Відповідно, із вірогідністю 74% проект буде завершений за 85 днів

										Лист
Изм.	Лист	№ документа	Подпись	Дата	ДА-52с.19-0006.001					

ДОДАТОК А. ПРИКЛАД КОДУ МЕТОДУ LBPН

```

#include
"lbp.hpp"

using namespace cv;
template <typename _Tp>
void lbp::OLBP_(const Mat& src, Mat& dst) {
    dst = Mat::zeros(src.rows-2, src.cols-2, CV_8UC1);
    for(int i=1;i<src.rows-1;i++) {
        for(int j=1;j<src.cols-1;j++) {
            _Tp center = src.at<_Tp>(i,j);
            unsigned char code = 0;
            code |= (src.at<_Tp>(i-1,j-1) > center) << 7;
            code |= (src.at<_Tp>(i-1,j) > center) << 6;
            code |= (src.at<_Tp>(i-1,j+1) > center) << 5;
            code |= (src.at<_Tp>(i,j+1) > center) << 4;
            code |= (src.at<_Tp>(i+1,j+1) > center) << 3;
            code |= (src.at<_Tp>(i+1,j) > center) << 2;
            code |= (src.at<_Tp>(i+1,j-1) > center) << 1;
            code |= (src.at<_Tp>(i,j-1) > center) << 0;
            dst.at<unsigned char>(i-1,j-1) = code;
        }
    }
}

template <typename _Tp>
void lbp::ELBP_(const Mat& src, Mat& dst, int radius, int neighbors) {
    neighbors = max(min(neighbors,31),1); // set bounds...
    // Note: alternatively you can switch to the new OpenCV Mat_
    // type system to define an unsigned int matrix... I am probably
    // mistaken here, but I didn't see an unsigned int representation
    // in OpenCV's classic typesystem...
    dst = Mat::zeros(src.rows-2*radius, src.cols-2*radius, CV_32SC1);
    for(int n=0; n<neighbors; n++) {
        // sample points
        float x = static_cast<float>(radius) *
cos(2.0*M_PI*n/static_cast<float>(neighbors));
        float y = static_cast<float>(radius) * -
sin(2.0*M_PI*n/static_cast<float>(neighbors));
        // relative indices
        int fx = static_cast<int>(floor(x));
        int fy = static_cast<int>(floor(y));
        int cx = static_cast<int>(ceil(x));
        int cy = static_cast<int>(ceil(y));
        // fractional part
        float ty = y - fy;
        float tx = x - fx;
        // set interpolation weights
        float w1 = (1 - tx) * (1 - ty);
    }
}

```

										Лист
Изм.	Лист	№ документа	Подпись	Дата	ДА-52с.19-0006.001					

```

float w2 = tx * (1 - ty);
float w3 = (1 - tx) * ty;
float w4 = tx * ty;
// iterate through your data
for(int i=radius; i < src.rows-radius;i++) {
    for(int j=radius;j < src.cols-radius;j++) {
        float t = w1*src.at<_Tp>(i+fy,j+fx) +
w2*src.at<_Tp>(i+fy,j+cx) + w3*src.at<_Tp>(i+cy,j+fx) + w4*src.at<_Tp>(i+cy,j+cx);
        // we are dealing with floating point precision, so add
some little tolerance
        dst.at<unsigned int>(i-radius,j-radius) += ((t >
src.at<_Tp>(i,j)) && (abs(t-src.at<_Tp>(i,j)) >
std::numeric_limits<float>::epsilon())) << n;
    }
}
}
}
}
template <typename _Tp>
void lbp::VARLBP_(const Mat& src, Mat& dst, int radius, int neighbors) {
    max(min(neighbors,31),1); // set bounds
    dst = Mat::zeros(src.rows-2*radius, src.cols-2*radius, CV_32FC1); //! Result
    // allocate some memory for temporary on-line variance calculations
    Mat _mean = Mat::zeros(src.rows, src.cols, CV_32FC1);
    Mat _delta = Mat::zeros(src.rows, src.cols, CV_32FC1);
    Mat _m2 = Mat::zeros(src.rows, src.cols, CV_32FC1);
    for(int n=0; n<neighbors; n++) {
        // sample points
        float x = static_cast<float>(radius) *
cos(2.0*M_PI*n/static_cast<float>(neighbors));
        float y = static_cast<float>(radius) * -
sin(2.0*M_PI*n/static_cast<float>(neighbors));
        // relative indices
        int fx = static_cast<int>(floor(x));
        int fy = static_cast<int>(floor(y));
        int cx = static_cast<int>(ceil(x));
        int cy = static_cast<int>(ceil(y));
        // fractional part
        float ty = y - fy;
        float tx = x - fx;
        // set interpolation weights
        float w1 = (1 - tx) * (1 - ty);
        float w2 = tx * (1 - ty);
        float w3 = (1 - tx) * ty;
        float w4 = tx * ty;
        // iterate through your data
        for(int i=radius; i < src.rows-radius;i++) {
            for(int j=radius;j < src.cols-radius;j++) {
                float t = w1*src.at<_Tp>(i+fy,j+fx) +

```

										Лист
Изм.	Лист	№ документа	Подпись	Дата	ДА-52с.19-0006.001					

```

w2*src.at<Tp>(i+fy,j+cx) + w3*src.at<Tp>(i+cy,j+fx) + w4*src.at<Tp>(i+cy,j+cx);
        _delta.at<float>(i,j) = t - _mean.at<float>(i,j);
        _mean.at<float>(i,j) = (_mean.at<float>(i,j) +
(_delta.at<float>(i,j) / (1.0*(n+1)))); // i am a bit paranoid
        _m2.at<float>(i,j) = _m2.at<float>(i,j) +
_delta.at<float>(i,j) * (t - _mean.at<float>(i,j));
    }
    }
}
// calculate result
for(int i = radius; i < src.rows-radius; i++) {
    for(int j = radius; j < src.cols-radius; j++) {
        dst.at<float>(i-radius, j-radius) = _m2.at<float>(i,j) /
(1.0*(neighbors-1));
    }
}
/ now the wrapper functions
void lbp::OLBP(const Mat& src, Mat& dst) {
    switch(src.type()) {
        case CV_8SC1: OLBP_<char>(src, dst); break;
        case CV_8UC1: OLBP_<unsigned char>(src, dst); break;
        case CV_16SC1: OLBP_<short>(src, dst); break;
        case CV_16UC1: OLBP_<unsigned short>(src, dst); break;
        case CV_32SC1: OLBP_<int>(src, dst); break;
        case CV_32FC1: OLBP_<float>(src, dst); break;
        case CV_64FC1: OLBP_<double>(src, dst); break;
    }
}
void lbp::ELBP(const Mat& src, Mat& dst, int radius, int neighbors) {
    switch(src.type()) {
        case CV_8SC1: ELBP_<char>(src, dst, radius, neighbors); break;
        case CV_8UC1: ELBP_<unsigned char>(src, dst, radius, neighbors); break;
        case CV_16SC1: ELBP_<short>(src, dst, radius, neighbors); break;
        case CV_16UC1: ELBP_<unsigned short>(src, dst, radius, neighbors);
break;
        case CV_32SC1: ELBP_<int>(src, dst, radius, neighbors); break;
        case CV_32FC1: ELBP_<float>(src, dst, radius, neighbors); break;
        case CV_64FC1: ELBP_<double>(src, dst, radius, neighbors); break;
    }
}
void lbp::VARLBP(const Mat& src, Mat& dst, int radius, int neighbors) {
    switch(src.type()) {
        case CV_8SC1: VARLBP_<char>(src, dst, radius, neighbors); break;
        case CV_8UC1: VARLBP_<unsigned char>(src, dst, radius, neighbors);
break;
        case CV_16SC1: VARLBP_<short>(src, dst, radius, neighbors); break;
        case CV_16UC1: VARLBP_<unsigned short>(src, dst, radius, neighbors);

```

										Лист
Изм.	Лист	№ документа	Подпись	Дата	ДА-52с.19-0006.001					

